

УДК 535.374

Н. Г. БАСОВ, В. А. ДАНИЛЫЧЕВ, А. Г. МОЛЧАНОВ,  
Ю. М. ПОПОВ и Д. Д. ХОДКЕВИЧ

## КВАНТОВЫЕ ГЕНЕРАТОРЫ, ИСПОЛЬЗУЮЩИЕ ЛЮМИНЕСЦЕНЦИЮ АВТОЛОКАЛИЗОВАННЫХ ЭКСИТОНОВ В КОНДЕНСИРОВАННЫХ ИНЕРТНЫХ ГАЗАХ

Первые исследования люминесценции конденсированных инертных газов в вакуумной УФ-области спектра [1–3] обнаружили широкие полосы излучения, заметно сдвинутые в длинноволновую сторону по отношению к полосам поглощения свободными экситонами. Этот сдвиг связан с понижением энергии свободных экситонов при переходе их в автолокализованное состояние  $R_2^*$  во многом сходное с возбужденным состоянием двухатомной молекулы инертного газа. Автолокализация экситонов происходит за время  $\sim 5 \cdot 10^{-12}$  сек [4], которое намного короче радиационного времени жизни свободных экситонов  $\tau_s \sim 10^{-9}$  сек, так что в отсутствие примесей люминесценция в конденсированных инертных газах происходит в основном за счет радиационного распада автолокализованных экситонов.

В последнее время интерес к люминесценции конденсированных инертных газов значительно возрос в связи с возможностью их использования в качестве рабочих веществ для квантовых генераторов в вакуумной УФ-области спектра [5, 6].

К настоящему времени уже сообщалось о наблюдении усиления [3, 7] и генерации [8] на длине волнны 1760 Å в жидким ксеноне при возбуждении его пучком быстрых электронов. Люминесценция автолокализованных экситонов слабо зависит от агрегатного состояния инертного газа [1, 3], поэтому квантовые генераторы, использующие эту люминесценцию, могут работать как на жидкости, так и на сжатых газах. Это значительно повышает их радиационную стойкость по сравнению с обычными генераторами на твердом теле, что может иметь значение при длительном электронном облучении. Так как время релаксации с нижнего рабочего уровня за счет отталкивания атомов в основном состоянии составляет величину  $\sim 10^{-12}$  сек, квантовые генераторы на конденсированных и сжатых инертных газах могут работать в квазинепрерывном режиме. В данной работе рассматривается схема заселения рабочих уровней и условия генерации вакуумного УФ-излучения в конденсированных инертных газах, а также приводятся экспериментальные данные по ко-герентности излучения и эффективности преобразования энергии электронного пучка в энергию излучения в жидком ксеноне.

В кристаллах инертных газов уровни свободных экситонов образуют две водородоподобные серии  $ns\Gamma(^3/2)$  и  $ns\Gamma(^1/2)$ , где  $n = 1, 2, 3, \dots$ , [9]. Автолокализация экситонов нижней серии  $ns\Gamma(^3/2)$  приводит к локальной деформации решетки, которая определяется сближением двух соседних атомов в направлении оси <110>.

Структура уровней энергии автолокализованных экситонов и потенциальные кривые были рассчитаны в работе [10], результаты которой,

для случая кристаллического ксенона, представлены на рис. 1. Уровни автолокализованных экситонов образуют две дипольно-разрешенные серии  $n\sigma$  и  $n\pi$  в соответствии с  $\sigma$ - и  $\pi$ -поляризацией их излучения в люминесценции. При этом  $n\sigma$ -серия связана с дипольно-разрешенной  $n\sigma\Gamma_{15}[\Gamma(^3/2)]$ -серийей, а  $n\pi$ -серия с дипольно-запрещенной  $n\pi\Gamma_{25}[\Gamma(^3/2)]$ -серийей свободных экситонов (см. рис. 1). Пунктирными кривыми здесь показаны со-

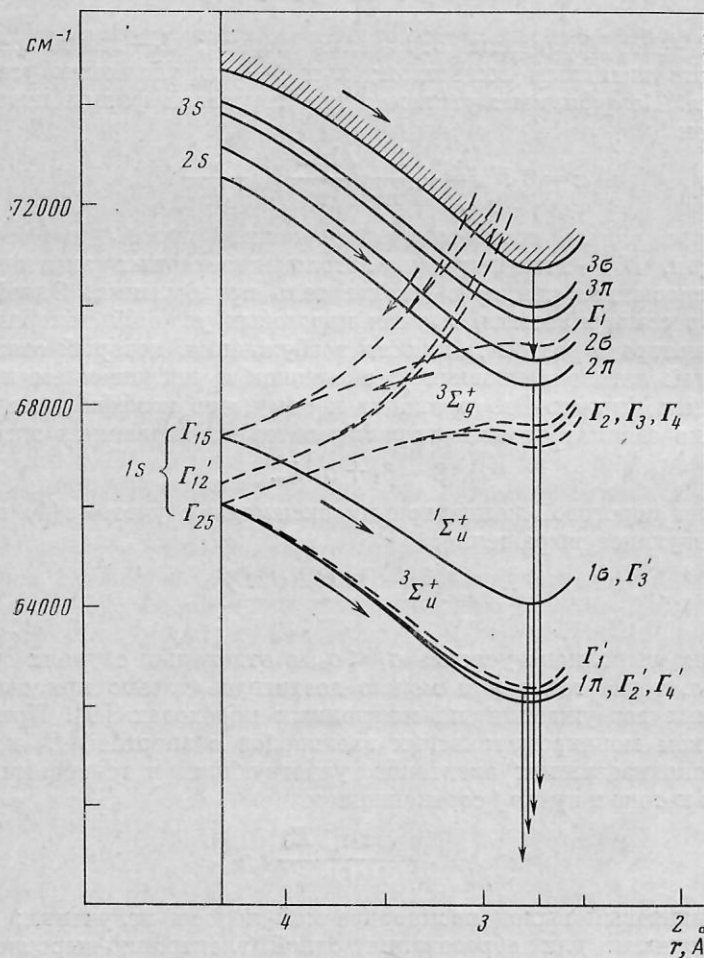


Рис. 1. Зависимость энергии экситонов от параметра деформации решетки и схема люминесценции в кристаллическом ксеноне

стояния, из которых запрещен переход в основное отталкивающее состояние. Наблюдаемые в кристаллическом ксеноне полосы люминесценции [11] можно связать в порядке возрастания энергии с радиационным распадом  $1\pi$ -,  $1\sigma$ -,  $2\pi$ - и  $2\sigma$ -экситонов. Полученная картина потенциальных кривых качественно сохраняется и для жидкого ксенона, так как при переходе от кристалла к жидкости, несмотря на заметное перераспределение интенсивности, положение максимумов полос люминесценции меняется незначительно [1, 3]. Наблюданная в спектре люминесценции при повышении температуры перекачка энергии между полосами

[3] может быть объяснена обменом энергией между экситонами  $2\sigma$  и  $1\sigma$  через промежуточные состояния  $\Gamma_1$  и  $1s\Gamma_{15}$  (см. рис. 1), а также обменом энергией между экситонами  $1\sigma$  и  $1\pi$  в процессе захвата  $1s\Gamma_{15}$ -экситона решеткой.

Для резонатора с плоскими зеркалами пороговое условие для начала генерации имеет следующий вид:

$$R_1 R_2 \exp [2(\alpha - \beta)L] = 1, \quad (1)$$

где  $R_1$ ,  $R_2$  — коэффициенты отражения зеркал;  $L$  — длина резонатора, заполненного активным веществом;  $\alpha$  и  $\beta$  — коэффициенты усиления и поглощения. Коэффициент усиления для гауссовой формы полосы излучения равен

$$\alpha = \sigma_0 N_{ex} = \frac{1}{4\pi n^2} \left( \frac{\ln 2}{\pi} \right)^{1/2} \frac{\lambda^2}{\tau_s \Delta v} N_{ex}, \quad (2)$$

где  $\lambda$  — длина волны, соответствующая центру полосы,  $\tau_s$  — спонтанное время жизни,  $N_{ex}$  — концентрация автолокализованных экситонов,  $\Delta v$  — ширина полосы излучения,  $n$  — показатель преломления. Одной из особенностей рассматриваемого случая пороговых условий генерации является рост потерь с ростом мощности возбуждения, который связан с фотопионизацией автолокализованных экситонов и поглощением на автолокализованных дырках. Это приводит к тому, что коэффициент поглощения линейно зависит от концентрации автолокализованных экситонов:

$$\beta = \beta_0 + \sigma_f N_{ex}. \quad (3)$$

Так что для пороговой концентрации экситонов с учетом (1) и (2) получаем следующее выражение:

$$N_{ex} = \frac{\beta_0 - (\ln R_1 R_2 / 2L)}{\sigma_0 - \sigma_f}. \quad (4)$$

Хотя обычно выполнено условие  $\sigma_f \ll \sigma_0$ , в отдельных случаях оно может нарушаться, тогда генерации можно достичь только при очень больших уровнях возбуждения на межзонных переходах [6]. При возбуждении пучком монохроматических электронов с энергией  $E_0$  концентрация автолокализованных экситонов, участвующих в генерации, связана с плотностью тока в пучке  $j$  соотношением

$$N_{ex} = \frac{\tau_s \eta}{e I_i} \frac{E_0}{x_0} j \quad (4')$$

(где  $\eta$  — квантовый выход рассматриваемой полосы излучения;  $I_i$  — энергия, необходимая для образования одной электронно-дырочной пары;  $e$  — заряд электрона;  $x_0$  — эффективная глубина возбуждения, связанная с пробегом электрона  $R$  и с плотностью вещества  $\rho$  приближенным соотношением  $x_0 = R / 5\rho$ . Для энергий  $E_0 \leq 1 \text{ МэВ}$  пробег электрона может быть представлен следующим соотношением [12]:

$$R = 0,274 \frac{A}{Z} \frac{E_0^2}{mc^2(E_0 + mc^2)}, \quad (5)$$

где  $A$  — атомный вес,  $Z$  — атомный номер вещества  $mc^2$  — энергия массы покоя электрона. Приравнивая правые части (3) и (4) с учетом (5), находим плотность тока, необходимую для начала генерации. В условиях опыта, когда  $\lambda = 1760 \text{ \AA}$ ,  $\Delta v = 1,4 \cdot 10^{14} \text{ сек}^{-1}$ ,  $L = 1 \text{ см}$ ,  $R_1 = R_2 = 0,5$ ,  $\beta_0 = 0,15 \text{ см}^{-1}$ ,  $E_0 = 600 \text{ кэВ}$ , а также используя численные значения:  $n = 1,5$ ,  $I_i = 22 \text{ эв}$ ,  $\rho = 3,5 \text{ г} \cdot \text{см}^{-3}$ ,  $\tau_s \approx 5 \cdot 10^{-9} \text{ сек}$ ,  $\eta \approx 0,1$ , получаем  $x_0 =$

$= 240 \text{ мкм}$ ,  $\sigma_0 = 5 \cdot 10^{-18} \text{ см}^2$ ,  $N_{ex} = 1,2 \cdot 10^{17} \text{ см}^{-3}$  и для пороговой плотности тока величину  $j \approx 30 \text{ а} \cdot \text{см}^{-2}$ .

Экспериментальная установка для возбуждения генерации конденсированных инертных газов электронным пучком с энергией 600 кэв и длительностью импульса  $\sim 10^{-8} \text{ сек}$  была описана в работах [8, 13]. Для жидкого ксенона ширина спектра генерации составляла  $\sim 20 \text{ \AA}$ , а пороговая плотность тока  $\sim 30 - 100 \text{ а} \cdot \text{см}^{-2}$ .



Рис. 2. Свечение люминесцентного экрана под действием излучения лазера на жидком ксеноне

На рис. 2 показана фотография свечения люминесцентного экрана под действием генерируемого излучения на расстоянии 40 мм от выходного зеркала резонатора. Эффективность генерации измерялась калориметрически, а также с помощью калибровочного солнечнослепого импульсного вакуумного фотометра с магниевым катодом. Излучение в ближней УФ-области обрезалось с помощью фильтров. Измеренная эффективность излучения составляла величину  $\sim 10\%$ . Направленность излучения, рассчитанная по размерам светящейся области, показанной на рис. 2, составляет величину  $\sim 3^\circ$ . Интерференционные полосы свидетельствуют о когерентности излучения.

Физический институт  
им. П. Н. Лебедева  
Академии наук СССР

#### Литература

1. Jortner J., Meuer L., Rice S., Wilson E. Chem. Phys., **42**, 4250 (1965).
2. Басов Н. Г., Богданкевич О. В., Данилычев В. А., Девятков А. Г., Кашиков Г. Н., Ланцов Н. П., Письма ЖЭТФ, **7**, 404 (1968).
3. Basov N. G., Balashov E. M., Bogdankevitch O. V., Danil'ychev V. A., Kashnikov G. N., Lantsov N. P., Khodkevitch D. D., J. Luminescence, **1**, 834 (1970).
4. Martin M., Rice S. A., Chem. Phys. Lett., **7**, 94 (1970).
5. Basov N. G., IEEE J. QE-2, № 9, 351 (1966).
6. Молчанов А. Г., Полуэктов И. А., Попов Ю. М., ФТТ, **9**, 3363 (1967).
7. Басов Н. Г., Богданкевич О. В., Данилычев В. А., Кашиков Г. Н., Керимов О. М., Ланцов Н. П., Краткие сообщ. физ., № 7, 68 (1970).
8. Басов Н. Г., Данилычев В. А., Попов Ю. М., Ходкевич Д. Д., Письма ЖЭТФ, **12**, 473 (1970).
9. Baldini G., Phys. Rev., **128**, 1562 (1962).
10. Молчанов А. Г., Препринт ФИАН, № 113 (1971); Краткие сообщ. физ., № 4, 9 (1972); ФТТ (в печати).
11. Creuzburg M., Sol. Stat. Commun., **9**, 665 (1971).
12. Молчанов А. Г., Усп. физ. наук, **106**, 165 (1972).
13. Данилычев В. А., Ходкевич Д. Д., Приборы и техника эксперимента, № 3, 157 (1971).